

九州大学 正員 東谷 陽一  
 同 同 楠田 哲也  
 同 同 古賀 寛一  
 同 同 ○木原 二郎

1. まえがき 凝集沈降によるフロックの成長を解明することは水処理のプロセスの1つである沈殿池の設計にとって必要がある。著者らはこの現象を解明するために前報<sup>1)</sup>で濃度が等しい場合のフロックの粒度分布、沈降速度に実験的、理論的考察を加え、粒度分布の相似性の存在、フロックの平均径の増加率( $D_p/D_{inf}$ )が時間的にかつ全ての実験の場合に一定の関係にあることを示唆した。今回は、この相似性、平均径の増加率に関する実験結果を追加し、さらに凝集沈降により成長したフロックの沈降速度と沈降開始時のフロックの沈降速度を求め、凝集沈降によるフロックの成長現象に一考察を加えた。

2. 実験装置及びその方法 図-1はフロックの粒度分布、沈降速度を測定する装置の概略図である。ジャーテスターAは14cm×14cm×153cm(容積3l)、凝集沈降筒Cは5cm×5cm×100cm、筒Eは5cm×5cm×30cmの大きさである。筒Cは粒度分布、筒Eは沈降速度を測定する為のものである。B、Fによって筒C、Eは密閉される。実験方法は、まずジャーテスターA、筒Eに室内水道水を満たす。所定の搅拌強度で搅拌させているジャーテスターAに所定量のカオリン、アルミニン酸ソーダ(S.A.)、硫酸鉄水素石、この順に注入する。所定の時間、搅拌し、フロックを形成させる。搅拌が終了すると開いていい在B、Fを開く。筒Cはフロック懸濁水を注入した後、B、Fを閉じ、筒C、Eを密閉する。所定の時間間隔 $t$ 、並接撮影により沈降筒C底部附近の粒度分布を求めるための撮影を、また小孔Dを通して落下してきたフロック粒子の沈降速度の測定を筒Eの適当な位置に行なう。

3. 実験結果及び考察 図-2、3、4は初期フロック形成のための条件としての滴質量、薬注量を一定とし、搅拌強度のみを変化させたときの粒度分布図である。図中の時間バラメータは沈降開始後の時間である。縦軸は(単位体積中のフロック累加体積/(単位体積中のフロック全体積)) $=V_p/V_{inf}$ である。これらの図より本実験の範囲内においても粒度分布の相似性、フロックの平均径の増加率( $D_p/D_{inf}$ )が時間的に一定の場合は一定の関係にあることが認められる。図-5において $G$ 値200が形成された微小フロックを沈降筒に注入した時点でのフロックの沈降速度、フロック径(フロックの長軸と短軸との算術的平均径)の関係を黒丸印で示し、このフロックを沈降成長させたときのそれらの関係を白丸印で示す。この図は、凝集沈降により成長したフロック径と沈降速度との回帰直線の勾配が初期のそれより緩かであることを示している。著者は凝集沈降により成長したフロックの密度を直接求め、あ

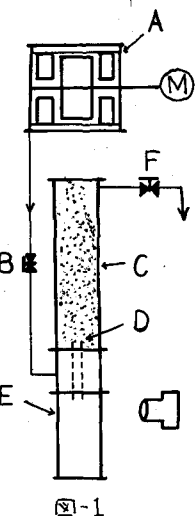
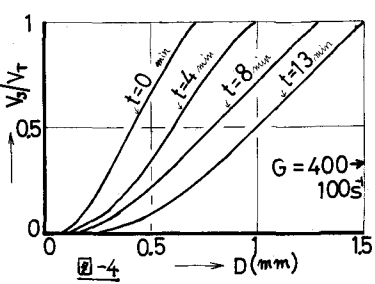
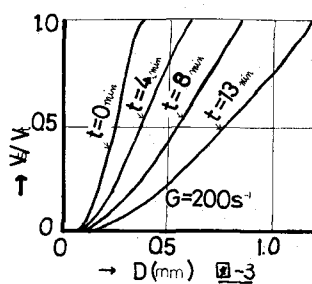
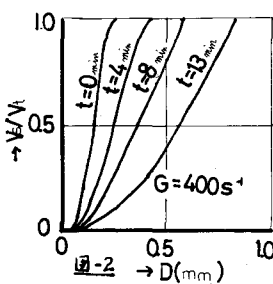


図-1



3程度成長したフロックには透水性があまり見られない結果を得ている。このことより、沈降成長するフロック粒子の径が大きくなる程、フロック密度は、低下する傾向があると考えられる。これは、ジーテスター内で形成したフロックの沈降速度とフロック径との関係を示す傾向と同じである。図-6は撹拌強度として半径10cmとした場合の沈降速度とフロック径の関係を示す。図-5、6より、本実験に見られた様に平均径の異なる粒子群(図-7参照)が沈降成長した場合、フロック径の増加と共にフロックの沈降速度が同一となる傾向にある。これは前述のジーテスター内で得られた結果とは異なるが、このことと粒度分布の粗細性、平均径の増加率が示す傾向が、本実験の場合はフロック粒子が持つ付着力とフロック粒子が沈降するとき流体から受けけるshearとの割合の減少が破壊に類似して現象が生じているのではないかと推測される。

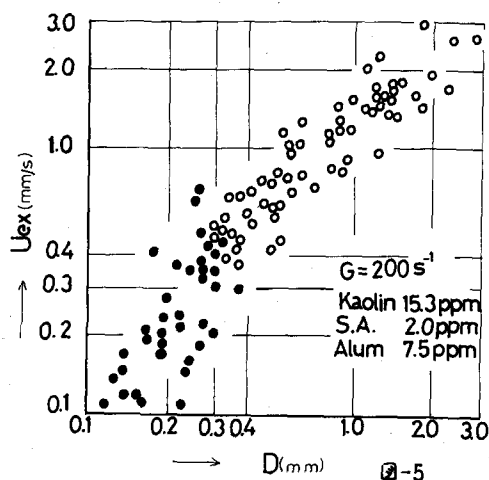


図-5

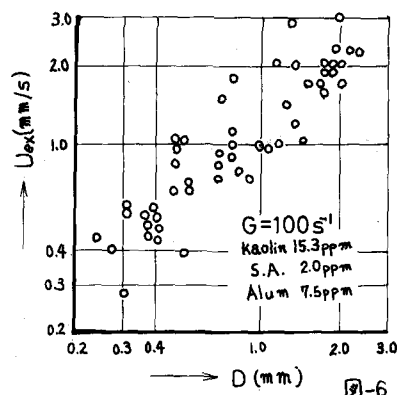


図-6

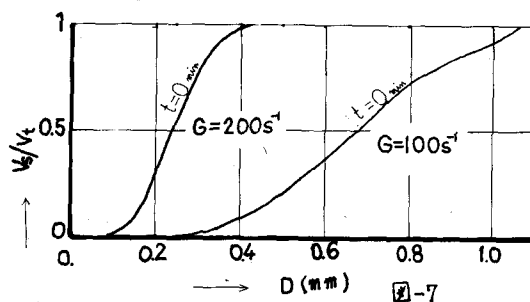


図-7

#### 参考文献

- 1) 萩谷、楠田、古賀；凝集沈降に関する基礎的研究、第11回衛生工学討論会講演集
- 2) 同 ；凝集沈降による成長フロックの基礎的性質(沈降速度、密度)、第26回水道協会講演集